

TRABALHO PRÁTICO 3 DE
ANÁLISE NUMÉRICA

Elementos do Grupo 17:

Adriana Ramos Das Neves Martins Dos Santos

Andreia Lúcia Martins Batista

Luís Miguel Monteiro

Pedro Miguel Pinto da Costa

Introdução

Este trabalho foi realizado no âmbito da unidade curricular Análise Numérica, com o objetivo de apresentar propostas de resolução de exercícios relativos à interpolação polinomial e à interpolação polinomial segmentada. Estes processos permitem aproximar uma função f , da qual se conhece apenas um conjunto de $n + 1$ pontos de abcissas distintas, a partir de um polinómio interpolador e de um spline, respetivamente. Para isso, foram implementados o método de Newton em diferenças divididas e a construção do spline cúbico natural, recorrendo à linguagem Python. Para a construção de gráficos e auxílio nos cálculos, foi utilizado o programa wxMaxima.

Exercício 1

a)

De modo a calcular um valor aproximado de $p(9)$ por interpolação polinomial sobre os dados conhecidos, usando toda a informação fornecida, construiu-se o polinómio interpolador de grau 6, $p_6(t)$, de $p(t)$ nos pontos de abcissas $[0,5,10,15,20,25,30]$.

Começou-se por escrever o programa 1 representado na figura 1 que aplica o método de Newton em diferenças divididas. Para tal, definiu-se a função $dif_div(W)$, em que $W = [[t_i], [p(t_i)]]_{i=0}^n$, que adiciona a W as sucessivas diferenças divididas de $p(t)$ nos pontos de abcissas $[t_i]_{i=0}^n$.

Por último, definiu-se a função $newton(W)$, onde $W = [[t_i], [p(t_i)]]_{i=0}^n$, que retorna o polinómio interpolador de $p(t)$ no conjunto de pontos $(t_i, p(t_i))_{i=0}^n$.

```
from sympy import Symbol, Rational
t=Symbol('t')

def dif_div(W): #W=[[ti],[p(ti)]], i=0,1,...n
    n=len(W[0])-1
    for i in range(n):
        A=[]
        for j in range(n-i):
            A.append((W[i+1][j+1]-W[i+1][j])/(W[0][i+j+1]-W[0][j]))
        W.append(A)
    return W

def newton(W): #W=[[ti],[p(ti)]], i=0,1,...n
    W=dif_div(W)
    pol=W[1][0] #p(t0)
    for i in range(1,len(W[0])):
        B=1
        for j in range(i):
            B*=(t-(W[0][j])) # (t-t0)(t-t1)...
        B*=W[i+1][0] #f[t0,...]
        pol+=B
    return pol
```

Figura 1 – Programa que constrói o polinómio interpolador do conjunto de pontos W .

Nota: Como os cálculos dos programas são feitos com precisão máquina, os coeficientes e o termo independente dos polinómios interpoladores e dos splines são apresentados, ao longo do trabalho, com 15 algarismos significativos.

De seguida, executou-se o programa 1 da figura 1 para $W = ([[0, 5, 10, 15, 20, 25, 30], [100, 89.5560, 78.4905, 67.2706, 56.3897, 46.2842, 37.2687]])$, obtendo-se o polinómio:

```
In [2]: newton([[0,5,10,15,20,25,30],
...: [100,89.5560,78.4905,67.2706,56.3897,46.2842,37.2687]])
Out[2]:
1.6444444443706e-9*t*(t - 25)*(t - 20)*(t - 15)*(t - 10)*(t - 5) - 2.22133333333231e-7*t*(t - 20)*(t - 15)*(t - 10)*(t - 5) + 1.7533333333253e-6*t*(t - 15)*(t - 10)*(t - 5) + 0.0006228*t*(t - 10)*(t - 5) - 0.0124299999999999*t*(t - 5) - 2.0888*t + 100
```

Figura 2 – Construção do polinómio interpolador $p_6(t)$.

Por último, definiu-se $p_6(t)$ e calculou-se o valor de $p_6(9)$:

```
p6(t)=1.6444444443706e-9*t*(t - 25)*(t - 20)*(t - 15)*(t - 10)*(t - 5) - 2.22133333333231e-7*t*(t - 20)*(t - 15)*(t - 10)*(t - 5) +
1.7533333333253e-6*t*(t - 15)*(t - 10)*(t - 5) + 0.0006228*t*(t - 10)*(t - 5) - 0.0124299999999999*t*(t - 5) - 2.0888*t + 100
p6(9);
80.73186822400001
```

Figura 3 - Cálculo do valor de $p_6(9)$.

Como $p(9) \approx p_6(9) = 80.7319$, conclui-se que o número de animais da espécie ao fim de 9 anos, é aproximadamente, 80.7319×10^6 .

b)

Como $p(t) = \frac{300}{2+e^{0.06t}}$ é definida pelo quociente de duas funções contínuas (constante e exponencial), cujo denominador não se anula em \mathbb{R} , trata-se de uma função de classe C^∞ em \mathbb{R} . Em particular, é de classe C^7 em $[0,30]$.

Seja $p_6(t) \in \mathbb{P}_6$ o polinómio interpolador de $p(t)$ dos pontos de abcissas $[0,5,10,15,20,25,30] = [t_i], i = 0, \dots, 6$, determinado na alínea anterior. Resulta do teorema visto nas aulas teóricas que $\forall t \in [0,30] \exists c_t \in]0,30[$:

$$p(t) - p_6(t) \leq \frac{1}{7!} p^{(7)}(c_t) \pi_7(t),$$

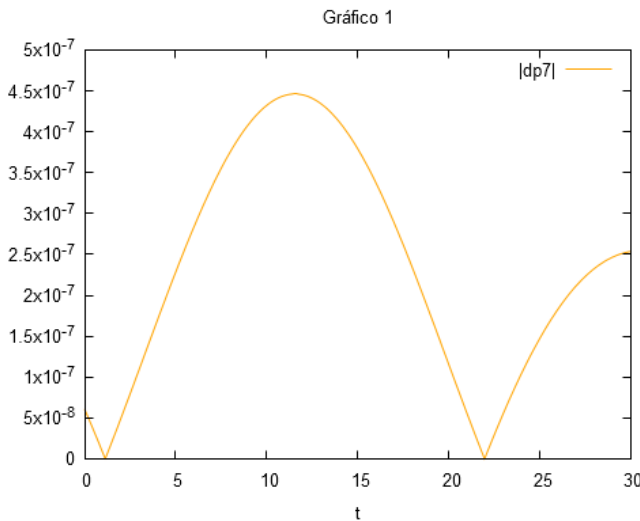
onde $\pi_7(t) = (t - t_0) \dots (t - t_6)$.

Pode-se, então, majorar o erro absoluto cometido ao aproximar $p(9)$ por $p_6(9)$:

$$|E_6(9)| = |p(9) - p_6(9)| \leq \frac{M}{7!} |\pi_7(9)|,$$

onde $M = \max_{t \in [0,30]} |p^{(7)}(t)|$ e $\pi_7(9) = (9 - t_0) \dots (9 - t_6)$.

Para calcular o valor do máximo de $|p^{(7)}(t)|$ no intervalo $[0,30]$, começou-se por determinar $p^{(7)}(t)$ ($= dp7$) e construir o gráfico do seu módulo no intervalo $[0,30]$:



Observando o gráfico 1 de $|p^{(7)}(x)|$ em $[0,30]$, verifica-se que o máximo é atingido em $[10,15]$. Assim, basta determinar o zero de $p^{(8)}(x)$ em $[10,15]$ para obter o valor da abscissa onde o máximo de $|p^{(7)}(x)|$ é atingido no intervalo $[0,30]$. Para isso foi utilizado, mais uma vez, o Maxima:

```
find_root(diff(p(t),t,8), t, 10, 15);
11.55245300933164
```

Figura 4 – Cálculo do zero da oitava derivada de $p(t)$ em $[10,15]$.

Por último, determinou-se a imagem da abscissa onde o máximo de $|p^{(7)}(x)|$ é atingido em $[0,30]$, que corresponde ao valor de M :

```
dp7(11.55245300933164);
4.461479999999817 10-7
```

Figura 5- Cálculo do M .

Deste modo, $M = \max_{x \in [0,30]} |p^{(7)}(x)| \approx 4.4615 \times 10^{-7}$ Portanto, tem-se que:

$$|E_6(9)| = |p(9) - p_6(9)| \leq \frac{4.4615 \times 10^{-7}}{7!} |(9-0)(9-5)(9-10)(9-15)(9-20)(9-25)(9-30)| \approx 7.1 \times 10^{-5}.$$

O erro absoluto efetivamente cometido é dado por: $|p(9) - p_6(9)| \approx |80.73182077592084 - 80.73186822400001| \approx 4.7 \times 10^{-5} \leq 7.1 \times 10^{-5}$.

Ao efetuar interpolação polinomial, cometeu-se um erro que é majorado por 7.1×10^{-5} . Deste modo, o valor de $p(9)$ deverá ser apresentado com 6 casas decimais. Porém, na tabela de que se dispõe, os valores da função estão afetados de um erro de 5×10^{-5} (têm 4 casas decimais), por isso, o resultado fica afetado desse erro. Pode-se, então, escrever $p(9) \approx 80.7319$.

Exercício 2

a)

De forma a construir um conjunto de $n + 1 = 7$ pontos, $(x_i, f(x_i))_{i=0}^n$, de abcissas x_i , $i = 0, \dots, n$, igualmente espaçadas em $[-4, 4]$, determinou-se a amplitude que cada subintervalo $[x_{i-1}, x_i]_{i=1}^6$ tem de ter: $\frac{|4 - (-4)|}{6} = \frac{4}{3}$. Portanto, $x_i = -4 + \frac{4}{3}i = \frac{-12+4i}{3}$, $i = 0, \dots, 6$. De seguida, recorreu-se ao Python para calcular os valores de $(f(x_i))_{i=0}^6$, representados na tabela à esquerda:

i	xi	f(xi)
0	-4	0.94287
1	-8/3	0.88401
2	-4/3	0.69768
3	0	0.36788
4	4/3	0.69768
5	8/3	0.88401
6	4	0.94287

```
from math import *
from sympy import Rational

def f(x):
    return exp(-1/(1+x**2))

print()
print('%s %5s %9s' % ('i','xi','f(xi)'))
for i in range (0,7):
    x=Rational(-12+4*i,3)
    print('%-3d %-6r %.5f' % (i,x,f(x)))
```

Figura 6-Cálculo dos valores de $(f(x_i))_{i=0}^6$.

Exclusivamente para apresentação de resultados, decidiu-se arredondar os valores de f de cada x_i para 5 algarismos significativos.

b)

Seja A o conjunto $(x_i, f(x_i))_{i=0}^6$, em que $x_i = -4 + \frac{4}{3}i$, $i = 0, \dots, 6$ determinado na alínea anterior.

Para construir o polinómio interpolador, p_6 , do conjunto de pontos A , adaptou-se o programa 1 (utilizado na alínea (a) do exercício 1) alterando-se a variável independente para x . De seguida, executou-se o programa modificado para esse conjunto de pontos:

```
In [2]: newton([[-4,Rational(-8,3),Rational(-4,3),0,Rational(4,3),Rational(8,3),4],
...:           [f(-4),f(-8/3),f(-4/3),f(0),f(4/3),f(8/3),f(4)]])
Out[2]:
0.00119896596083227*x*(x - 8/3)*(x - 4/3)*(x + 4/3)*(x + 8/3)*(x + 4) -
0.00479586384332908*x*(x - 4/3)*(x + 4/3)*(x + 8/3)*(x + 4) + 0.0107980537581964*x*(x + 4/3)*(x + 8/3)*(x + 4) -
0.0441478664452915*x - 0.0011246284063875*(x + 4/3)*(x + 8/3)*(x + 4) -
0.0358507051677375*(x + 8/3)*(x + 4) + 0.766281678073709
```

Figura 7- Construção do polinómio interpolador p_6 .

Com a finalidade de construir o spline cúbico natural que interpola o conjunto de $n + 1$ pontos $(x_i, f(x_i))_{i=0}^n$, escreveu-se o programa 2 representado na figura 8. A função *sistema* (X, Y) , em que $(X, Y) = ([x_i, f(x_i)])_{i=0}^n$, calcula a solução do sistema que determina o spline cúbico natural que interpola os pontos (X, Y) . Isto é, esta função calcula os valores de $M_i = S''(x_i), i = 0, 1, \dots, n$ que garantem a continuidade da primeira derivada do spline nos nós interiores e o anulamento da segunda derivada nos nós extremos.

Finalmente, a função *spline_c_n* (X, Y) , onde $(X, Y) = ([x_i, f(x_i)])_{i=0}^n$, retorna o spline cúbico natural que interpola o conjunto de pontos (X, Y) .

```

import numpy
from sympy import Symbol, Rational
x=Symbol('x')

def sistema(X,Y): #(X,Y)=([xi],[f(xi)]),i=0,1,...,n
    n=len(X)
    h=[X[i]-X[i-1] for i in range (1,n)] #valores de hi, i=1,...,n
    A=numpy.zeros(shape=(n,n))
    B=numpy.zeros(n)

    for i in range(n-2): #coeficientes do sistema
        A[i][i]=h[i]/6
        A[i][i+1]=(h[i]+h[i+1])/3
        A[i][i+2]=h[i+1]/6
    A[n-2][0]=1      #M0=0
    A[n-1][n-1]=1   #Mn=0

    for i in range(1,n-1): #termos independentes do sistema
        B[i-1]=((Y[i+1]-Y[i])/h[i]-(Y[i]-Y[i-1])/h[i-1])

    M=numpy.linalg.solve(A,B) #M=[M1 M2 ... Mn] (solução do sistema)
    return M

def spline_c_n(X,Y): #(X,Y)=([xi],[f(xi)]),i=0,1,...,n
    n=len(X)
    M=sistema(X,Y)
    h=[X[i]-X[i-1] for i in range (1,n)] #valores de hi, i=1,...,n
    S=[]

    for i in range(1,n): #expressão de Si(x), i=1,...n
        S.append(((M[i-1]/(6*h[i-1]))*(X[i]-x)**3)+
                  (M[i]/(6*h[i-1]))*((x-X[i-1])**3)+
                  (Y[i-1]-M[i-1]*(h[i-1])**2/6)*((X[i]-x)/h[i-1])+)
                  (Y[i]-M[i]*(h[i-1]**2/6))*((x-X[i-1])/h[i-1]))
    print(X[i-1], '<= x <=', X[i])
    print('S',i,'(x) =',S[i-1])
    print()

```

Figura 8 – Programa que constrói o spline cúbico que interpola o conjunto de pontos (X, Y) .

Para determinar o spline cúbico natural do conjunto de pontos A, scn_6 , executou-se o programa 2 para os pontos desse conjunto:

```
In [2]: spline_c_n([-4,Rational(-8,3),Rational(-4,3),0,Rational(4,3),Rational(8,3),4],
...:           [f(-4),f(-8/3),f(-4/3),f(0),f(4/3),f(8/3),f(4)])
-4 <= x <= -8/3
S 1 (x) = -0.0361990331417449*x - 0.00447121873324489*(x + 4)**3 + 0.798077011287895

-8/3 <= x <= -4/3
S 2 (x) = -0.0838920329630238*x - 0.00447121873324489*(-x - 4/3)**3 - 0.0358911828186267*(x +
8/3)**3 + 0.670895678431151

-4/3 <= x <= 0
S 3 (x) = 0.0358911828186267*x**3 - 0.466731316361709*x + 0.0875121218178203*(x + 4/3)**3 +
0.160443300566239

0 <= x <= 4/3
S 4 (x) = -0.0358911828186267*x**3 + 0.466731316361709*x + 0.0875121218178203*(4/3 - x)**3 +
0.160443300566239

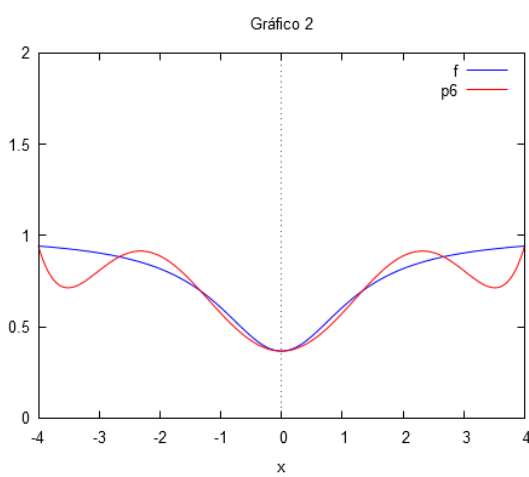
4/3 <= x <= 8/3
S 5 (x) = 0.0838920329630238*x - 0.0358911828186267*(8/3 - x)**3 - 0.00447121873324489*(x -
4/3)**3 + 0.670895678431151

8/3 <= x <= 4
S 6 (x) = 0.0361990331417449*x - 0.00447121873324489*(4 - x)**3 + 0.798077011287895
```

Figura 9 – Construção do spline cúbico natural, scn_6 .

c)

Com o intuito de comparar o gráfico da aproximação p_6 com o de f no intervalo $[-4,4]$, construiu-se o gráfico 2, onde se pode observar o gráficos de ambas as funções:



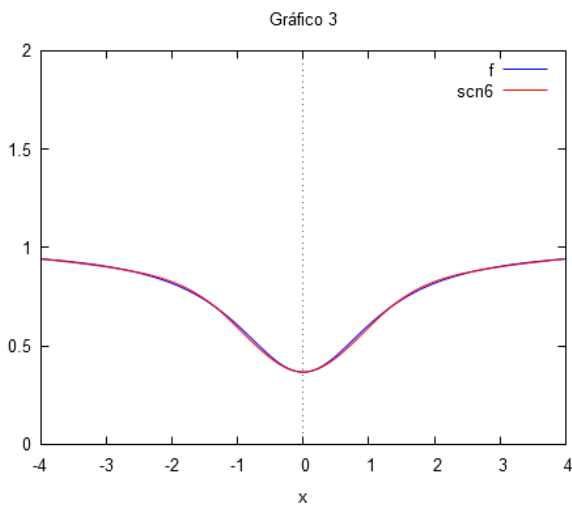
Observando o gráfico 2, constata-se que f e p_6 coincidem em 7 pontos e que p_6 representa melhor f na parte central do intervalo do que nos seus extremos. Repara-se também que o polinómio apresenta maior número de variações, ou seja, mudanças de monotonia, do que a função.

Com a propósito de facilitar a construção do spline cúbico natural relativo às abcissas $x_i = -4 + \frac{4}{3}i, i = 0, \dots, 6$, definiu-se a função $scn_6(x)$, que coincide, com o spline obtido na alínea b):

```
scn6(x)= if x>=-4 and x <= -8/3 then S1(x) else if x>=-8/3 and x <= -4/3 then S2(x) else if x>=-4/3 and x <= 0 then S3(x) else
if x>=0 and x <= 4/3 then S4(x) else if x>=4/3 and x <= 8/3 then S5(x) else if x>=8/3 and x <= 4 then S6(x)$
```

Figura 10 - Definição da função $scn_6(x)$.

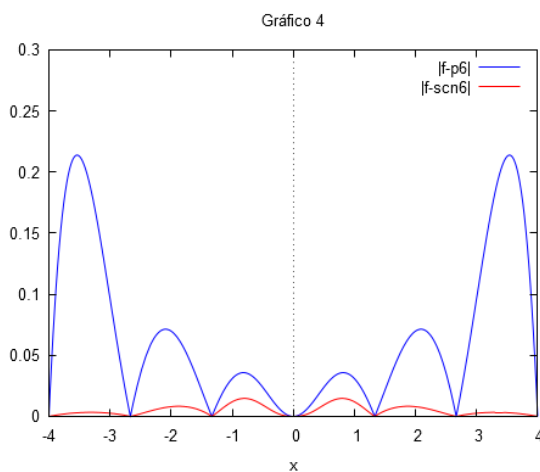
De seguida, construiu-se o gráfico 3 correspondente a scn_6 e a f , em $[-4,4]$:



A partir da observação do gráfico 3, verifica-se que scn_6 constitui uma aproximação muito boa de f em todos os subintervalos considerados, sendo quase imperceptível, do ponto de vista visual, a diferença entre ambos.

Comparando os gráficos obtidos de p_6 e scn_6 com f , conclui-se que scn_6 corresponde a uma melhor aproximação de f em $[-4,4]$ do que p_6 , ao longo de todo o intervalo, como seria de esperar.

Finalmente, construíram-se os gráficos dos erros $|f - p_6|$ e $|f - scn_6|$, representados no gráfico 4:



O gráfico obtido evidencia a conclusão retirada anteriormente, uma vez que p_6 conduz a erros maiores, em todos os subintervalos considerados, do que os erros produzidos por scn_6 . Além disso, como o erro $|f - p_6|$ é significativamente maior nos extremos do que na parte central de $[-4,4]$, verifica-se que p_6 representa melhor f na parte central desse intervalo. Por outro lado, scn_6 constitui uma aproximação de f ligeiramente melhor nos extremos do que na parte central de $[-4,4]$, ainda que essa diferença não seja muito considerável.

d)

i)

De forma construir um conjunto de $n + 1 = 8$ pontos, $(x_i, f(x_i))_{i=0}^7$, de abcissas x_i , $i = 0, \dots, n$, igualmente espaçadas em $[-4, 4]$, determinou-se a amplitude que cada subintervalo $[x_{i-1}, x_i]_{i=1}^7$ tem de ter: $\frac{|4 - (-4)|}{7} = \frac{8}{7}$. Portanto, $x_i = -4 + \frac{8}{7}i = \frac{-28+8i}{7}$, $i = 0, \dots, 7$. De seguida, recorreu-se ao Python para calcular os valores de $(f(x_i))_{i=0}^7$, representados na tabela à esquerda da figura 11.

```
from math import *
from sympy import Rational
def f(x):
    return exp(-1/(1+x**2))
print()
print('%s %s %s' % ('i','xi','f(xi)'))
for i in range (0,8):
    x=Rational(-28+8*i,7)
    print('%-3d %-6r %.5f' % (i,x,f(x)))
```

Figura 11-Cálculo dos valores de $(f(x_i))_{i=0}^7$.

Para efeito de apresentação dos resultados, exclusivamente, decidiu-se arredondar os valores de f de cada x_i para 5 algarismos significativos.

ii)

Seja B o conjunto $(x_i, f(x_i))_{i=0}^7$, em que $x_i = -4 + \frac{8}{7}i$, $i = 0, \dots, 7$ determinado na alínea anterior.

Para construir o polinómio interpolador, p_7 , do conjunto de pontos B , executou-se o programa modificado utilizado na alínea (b) do exercício 2 para este conjunto:

```
In [2]:
newton([[-4,Rational(-20,7),Rational(-12,7),Rational(-4,7),Rational(4,7),Rational(12,7),Rational(20,7),4],
...: [f(-4),f(-20/7),f(-12/7),f(-4/7),f(4/7),f(12/7),f(20/7),f(4)]])
Out[2]:
-0.0404779828145491*x + 0.000678844056715819*(x - 12/7)*(x - 4/7)*(x + 4/7)*(x + 12/7)*(x + 20/7)*(x + 4) -
0.00465493067462276*(x - 4/7)*(x + 4/7)*(x + 12/7)*(x + 20/7)*(x + 4) + 0.0146409709122131*(x + 4/7)*(x +
12/7)*(x + 20/7)*(x + 4) - 0.0122621164317207*(x + 12/7)*(x + 20/7)*(x + 4) - 0.0285470219211259*(x +
20/7)*(x + 4) + 0.780961212596679
```

Figura 12 - Construção do polinómio interpolador p_7 .

Para determinar o spline cúbico natural, scn_7 , do conjunto de pontos B , executou-se o programa 2 para os pontos desse conjunto:

```
In [2]:
spline_c_n([-4,Rational(-20,7),Rational(-12,7),Rational(-4,7),Rational(4,7),Rational(12,7),Rational(20,7),4],
...:   [f(-4),f(-20/7),f(-12/7),f(-4/7),f(4/7),f(12/7),f(20/7),f(4)]]
-4 <= x <= -20/7
S 1 (x) = -0.0381405697517736*x - 0.00178958187618746*(x + 4)**3 + 0.79031086484778

-20/7 <= x <= -12/7
S 2 (x) = -0.0521650481284264*x - 0.00178958187618746*(-x - 12/7)**3 - 0.0427989608572204*(x + 20/7)**3 +
0.750240926628773

-12/7 <= x <= -4/7
S 3 (x) = -0.387569149540113*x - 0.0427989608572204*(-x - 4/7)**3 + 0.0494554383527748*(x + 12/7)**3 +
0.175262467065881

-4/7 <= x <= 4/7
S 4 (x) = 0.0494554383527748*(4/7 - x)**3 + 0.0494554383527749*(x + 4/7)**3 + 0.396730552517374

4/7 <= x <= 12/7
S 5 (x) = 0.387569149540113*x + 0.0494554383527749*(12/7 - x)**3 - 0.0427989608572204*(x - 4/7)**3 +
0.175262467065881

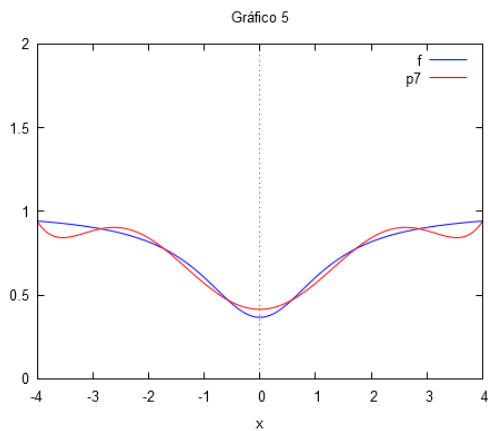
12/7 <= x <= 20/7
S 6 (x) = 0.0521650481284264*x - 0.0427989608572204*(20/7 - x)**3 - 0.00178958187618746*(x - 12/7)**3 +
0.750240926628773

20/7 <= x <= 4
S 7 (x) = 0.0381405697517736*x - 0.00178958187618746*(4 - x)**3 + 0.79031086484778
```

Figura 13 – Construção do spline cúbico natural, scn_7 .

iii)

De forma a comparar o gráfico da aproximação p_7 com o de f no intervalo $[-4,4]$, construiu-se o gráfico 5:



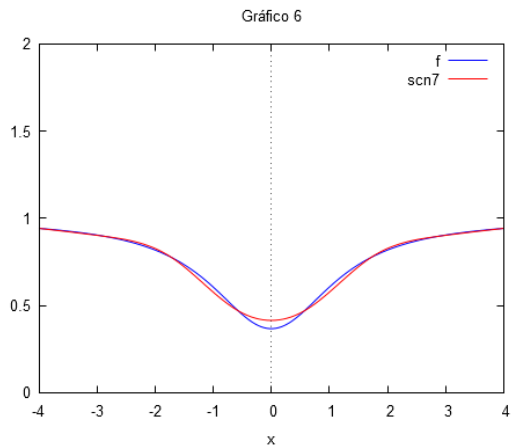
A partir da observação do gráfico 5, verifica-se que f e p_7 coincidem em 8 pontos e que p_7 representa melhor f nos subintervalos $[-\frac{20}{7}, -\frac{4}{7}]$ e $[\frac{4}{7}, \frac{20}{7}]$ do que na parte central e nos extremos de $[-4,4]$.

Com a finalidade de facilitar a construção do spline cúbico natural relativo às abscissas $x_i = -4 + \frac{8}{7}i, i = 0, \dots, 7$, definiu-se a função $scn_7(x)$ que coincide, com o spline obtido na alínea d) ii):

```
scn7(x)=if x>=-4 and x <= -20/7 then S1(x) else if x>=-20/7 and x <= -12/7 then S2(x) else if x>=-12/7 and x <=-4/7 then S3(x) else
if x>=-4/7 and x <= 4/7 then S4(x) else if x>=4/7 and x <= 12/7 then S5(x) else if x>=12/7 and x <= 20/7 then S6(x) else
if x>=20/7 and x <=4 then S7(x)$
```

Figura 14 - Definição de $scn_7(x)$.

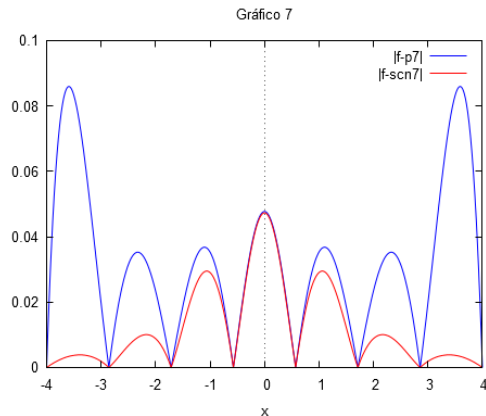
De seguida, construiu-se o gráfico 6 correspondente a scn_7 e a f em $[-4,4]$:



Observando o gráfico 6, verifica-se que scn_7 constitui uma melhor aproximação da função f nos extremos do intervalo do que na parte central do mesmo.

Comparando os gráficos obtidos de p_7 e scn_7 com f , conclui-se que scn_7 representa melhor f em $[-4,4]$ do que p_7 .

Finalmente, construíram-se os gráficos dos erros $|f - p_7|$ e $|f - scn_7|$, representados no gráfico 7:



O gráfico obtido mostra que p_7 conduz a erros maiores na representação de f do que scn_7 em todos os subintervalos considerados de $[-4,4]$, exceto em $[-\frac{4}{7}, \frac{4}{7}]$, onde o erro é, aproximadamente, o mesmo. Além disso, p_7 representa melhor f nos subintervalos $[-\frac{20}{7}, -\frac{4}{7}]$ e $[\frac{4}{7}, \frac{20}{7}]$ do que na parte central e nos extremos de $[-4,4]$. Por outro lado, como o erro $|f - scn_7|$ diminui à medida que se afasta do ponto médio do intervalo, scn_7 constitui uma aproximação melhor de f nos extremos do que na parte central de $[-4,4]$.

e)

Em primeiro lugar, foi feita uma análise às aproximações dos polinómios p_6 e p_7 e dos splines scn_6 e scn_7 , tendo em conta as representações gráficas dos mesmos.

Nos gráficos 2 e 5, onde estão representados os polinómios interpoladores de grau 6 e 7, respetivamente, juntamente com a função f , é possível aferir que p_7 conduz a menores erros, de um modo geral. No entanto, não há nenhum resultado que afirme que seja de prever que a interpolação por um polinómio de grau mais elevado conduza a um resultado mais preciso, até porque, geralmente, um polinómio de grau elevado apresenta várias mudanças de monotonia e concavidade.

Ao analisar os gráficos 3 e 6, constata-se que o spline cúbico natural scn_6 constitui uma melhor aproximação da função f naquele conjunto de pontos de abcissas igualmente espaçadas do que scn_7 . Isto porque na parte central de $[-4,4]$, scn_7 leva a erros bastante elevados, quando comparados aos erros produzidos por scn_6 nessa região. Daqui resulta que o aumento do número de nós utilizados na construção de um spline cúbico natural não implica que este constitua uma melhor aproximação da função em causa.

Verifica-se, também, que os dois splines obtidos aproximam f melhor do que qualquer polinómio interpolador obtido. Isto é expectável, uma vez que um spline é uma função seccionalmente polinomial, e, portanto, o aumento do número de pontos de interpolação não implica o aumento do grau do polinómio interpolador. Desta forma, evita-se que se cometam erros muitos grandes provocados pelo grau elevado do polinómio interpolador.

Tanto p_6 como p_7 representam melhor f na parte central de $[-4,4]$ do que nos extremos. Consequentemente, no caso do polinómio interpolador, obter-se-iam melhores resultados, aumentando a amplitude dos subintervalos próximos do ponto médio do intervalo considerado. Em contrapartida, os splines scn_6 e scn_7 constituem uma melhor aproximação de f nos extremos do intervalo considerado do que próximo do seu ponto médio.

Em segundo lugar, foi feita uma análise aos erros $|f - p_6|$ e $|f - p_7|$, a partir do teorema que permite o cálculo dos mesmos.

Tendo em conta que o fator $\pi_7(x) = (x + 4)(x + \frac{8}{3})\dots(x - \frac{8}{3})(x - 4)$ é o fator mais importante no comportamento do erro de p_6 , elaborou-se a tabela 1 para os valores de $\pi_7(x)$ para alguns pontos de abcissa do intervalo considerado.

x	$\pi_7(x)$
-3	2.9×10^2
-2.5	-9.4×10^1
-1	7.1×10^1
0.25	-4.8×10^1
0.5	-8.2×10^1
3.5	-7.1×10^2

Tabela 1-Valores de $\pi_7(x)$, $x \in \{-3, -2.5, -1, 0.5, 0.25, 3.5\}$.

Com base na observação da tabela 1, constata-se que $\pi_7(x)$, em valor absoluto, é muito maior próximo dos extremos do intervalo $[-4,4]$ do que nos restantes valores de x . A função $\pi_7(x)$ é uma função ímpar, ou seja, $\pi_7(-x) = -\pi_7(x)$, o que justifica o facto de se terem escolhido pontos de abcissa com diferentes valores absolutos e com diferente espaçamento, na tabela.

Tendo em conta o gráfico 4 e a tabela 1, verifica-se que, em geral, quanto maior o valor de $\pi_7(x)$ em termos absolutos, maior o erro. Também se repara que em valores de x próximos das abcissas de interpolação, a função $\pi_7(x)$ toma valores menores, em valor absoluto, o que, consequentemente, leva a que o erro cometido seja menor do que nos valores restantes. Por isso, ao interpolar, devem ser escolhidas as abcissas de interpolação mais próximas do ponto onde se quer aproximar a função.

O fator $\pi_8(x) = (x + 4)(x + \frac{20}{7}) \dots (x - \frac{20}{7})(x - 4)$ é o fator mais importante no comportamento do erro de p_7 . Ao contrário do caso anterior, $\pi_8(x)$ é uma função par, mas, em termos de valor absoluto, as conclusões retiradas são análogas.

Bibliografia:

- Apontamentos das aulas teóricas